

8. У н я н и н А. Н. Стабилизация режущей способности шлифовального круга при обработке заготовок из пластичных материалов // Динамика технологических систем: Сб. трудов 7-ой междунар. научно-техн. конференции. — Саратов: Саратовский госуд. технич. университет, 2004. — С. 353—356.

669.1.002.5-192

МЕТОДИКА ОЦЕНКИ СРОКА СЛУЖБЫ ГИДРОЦИЛИНДРОВ УРАВНОВЕШИВАНИЯ РАБОЧИХ ВАЛКОВ ЛИСТОВЫХ СТАНОВ*

Д-р техн наук, проф. В. П. АНЦУПОВ, ст. препод. А.А. БАЖЕНОВ,
канд. техн. наук, доц. А.В. АНЦУПОВ, асп. Ал. В. АНЦУПОВ

Одной из основных причин остановки стана листовой прокатки является износ элементов механизма уравновешивания рабочих валков, а именно, износ бронзовых втулок и резинотканевых уплотнений. Анализ литературных данных показывает отсутствие в настоящее время какой-либо инженерной методики расчета ресурса работы узлов гидро- и пневмосистем типа «плунжер-втулка». Поэтому в данной работе сделана попытка оценки межремонтного срока службы гидроцилиндров на основе математической модели процесса изнашивания пар трения скольжения гидроцилиндра («плунжер-бронзовая втулка», «плунжер-уплотнение»).

One of the principal causes of a contour rolling mill stopping is component deterioration of the work roll balance mechanism, namely, deterioration of bronze sleeves and rubber-fabric seals. The analysis of published research data displays absence of any engineering design procedure as for resource of operation of hydraulics-and pneumatic systems of a «plunger-plug» type. Therefore in this article we attempted to estimate a turnaround time of hydraulic actuators on the basis of mathematical model of deterioration process of sliding couplers («plunger-bronze sleeve», «plunger-condensation»).

Модель построена с использованием энергетического подхода В.Д. Кузнецова [1], согласно которому изношенный объем детали ΔV пропорционален работе сил трения, совершенной в контакте пары трения при ее эксплуатации A_{tp} .

$$\Delta V(t) = I_w A_{tp}(t), \quad (1)$$

где I_w — показатель энергетической интенсивности изнашивания (энергетическая интенсивность изнашивания).

В основу расчета I_w и $A_{tp}(t)$ положена базовая схема И.В. Крагельского [2], согласно которой рассматривается стационарный (установившийся) режим граничного трения, определяемый стабильностью во времени фрикционных характеристик сопряжения, температуры и физико-механических свойств поверхностных слоев трущихся тел.

Рассмотрим поочередно пары скольжения гидроцилиндра.

Объемный износ бронзовой втулки из геометрических соображений (рис. 2)

$$\Delta V^{bt} = L^{bt} S_{AECD} = L^{bt} (S_{ADC} - S_{AEC}) \quad (2)$$

где L^{bt} — длина втулки.

$$S_{ADC} = S_{ADCB} - S_{ACB} = r_{in}^2 \varphi_1 - (r_{in} - \Delta H^{bt} - (r_{bt} - Y)) r_{in} \sin(\varphi_1), \quad (3)$$

*При финансовой поддержке Правительства Челябинской области.

здесь $r_{\text{пл}}$ — радиус плунжера гидроцилиндра; φ_1 — угол перекрытия сечений по оси плунжера;

$$\varphi_1 = \arccos \left(\frac{r_{\text{пл}}}{r_{\text{пл}} - \Delta H^{\text{вт}} - (r_{\text{вт}} - Y)} \right); \quad (4)$$

$r_{\text{вт}}$ — внутренний радиус бронзовой втулки; $\Delta H^{\text{вт}}$ — линейный износ втулки;

$$Y = \frac{\left(r_{\text{вт}}^2 + (e + \Delta H^{\text{вт}})^2 - r_{\text{пл}}^2 \right)}{2(\Delta H^{\text{вт}} + e)} \quad \text{расстояние от оси втулки до линии, соединяющей точки}$$

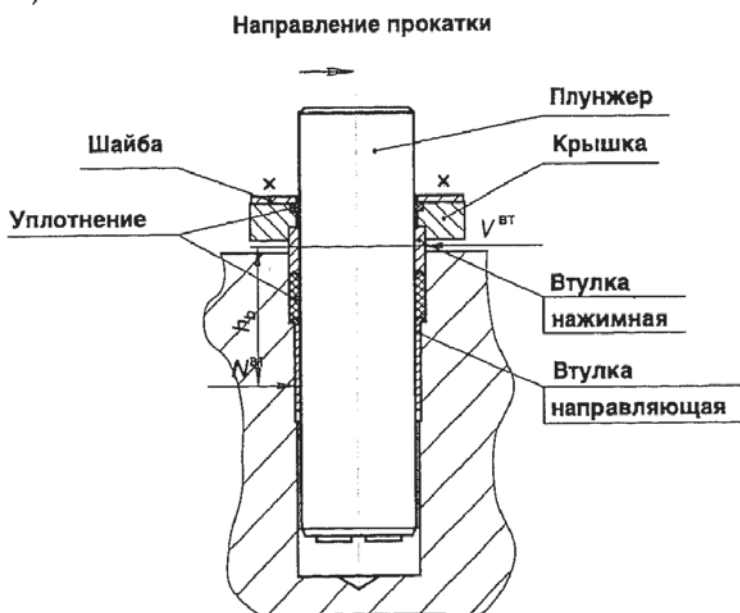


Рис. 1. Схема гидроцилиндра механизма уравновешивания рабочих валков

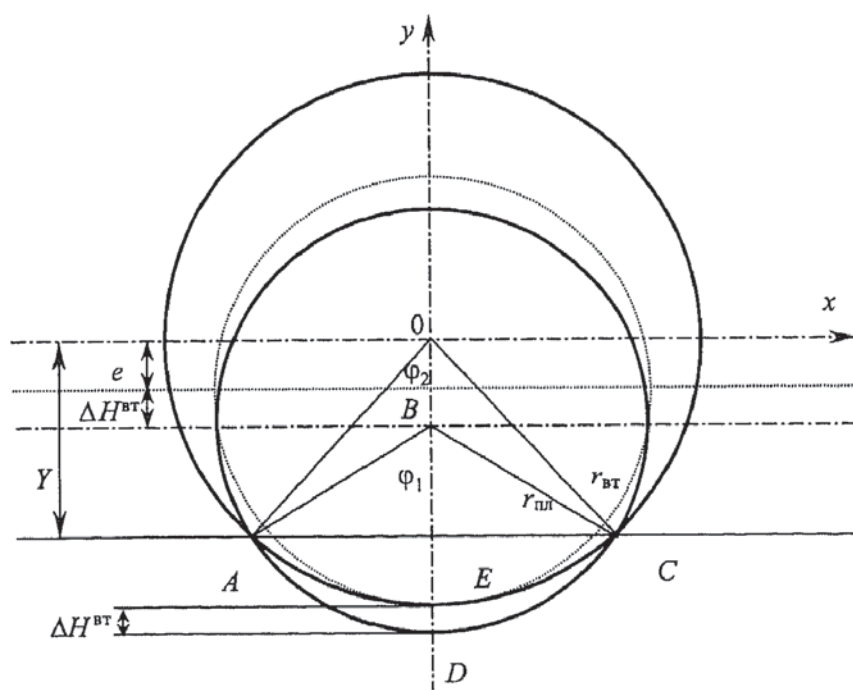


Рис. 2. К расчету объемного износа бронзовой втулки

A и C пересечения окружностей, находится совместным решением уравнений двух окружностей); $e = r_{\text{вт}} - r_{\text{пл}}$ — начальное смещение осей плунжера и втулки.

$$S_{AEC} = S_{AEKO} - S_{ACO} = r_{\text{вт}}^2 \Phi_2 - Y r_{\text{вт}} \sin(\Phi_2), \quad (5)$$

где Φ_2 — угол перекрытия сечений по оси втулки,

$$\Phi_2 = \arccos\left(\frac{r_{\text{вт}}}{Y}\right). \quad (6)$$

Текущий радиальный износ втулки $\Delta H^{\text{вт}}(t)$ в функции изношенного объема $\Delta V^{\text{вт}}(t)$

$$\Delta H^{\text{вт}}(t) = I_w A_{\text{тр}}^{\text{вт}}(t) B^{\text{rx}}, \quad (7)$$

где B^{rx} — достаточно громоздкое выражение взаимосвязи $\Delta V^{\text{вт}}$ и геометрических характеристик (гх): $L^{\text{вт}}$, $r_{\text{пл}}$, $r_{\text{вт}}$, e , Φ_1 , Φ_2 , Y (рис. 2).

Работа сил трения в контакте плунжер—бронзовая втулка.

$$A_{\text{тр}}^{\text{вт}}(t) = a_{\text{тр}}^{\text{вт}} \Sigma_{\text{пул}}(t) = a_{\text{тр}}^{\text{вт}} \frac{t}{t_p + t_n} \quad (8)$$

где $\Sigma_{\text{пул}}(t) = \frac{t}{t_p + t_n}$ — количество прокатанных (полос) рулона за время t , t — общее время прокатки; t_p — время прокатки одного рулона; t_n — время паузы между прокаткой рулона.

Работа трения в контакте за время прокатки одного рулона,

$$a_{\text{тр}}^{\text{вт}} = F_{\text{тр}}^{\text{вт}} S_{\text{тр}}, \quad (9)$$

где $S_{\text{тр}}$ — суммарное перемещение плунжера за прокатку одного рулона; $F_{\text{тр}}^{\text{вт}} = f^{\text{вт}} N^{\text{вт}}$ — сила трения в контакте плунжера с бронзовой втулкой; $f^{\text{вт}}$ — коэффициент трения в контакте.

Нормальные силы,держивающие плунжер от перекоса при сдвиге подушек верхнего и нижнего валков относительно друг друга, возникающего из-за разности ($l_{\text{неп}}$) их зазоров со стойками станины (рис. 1)

$$N^{\text{вт}} = \frac{N l_{\text{неп}}}{4 h_b}, \quad (10)$$

где N — вес верхнего рабочего валка и его подушек; h_b — расстояние между точками приложения сил $N^{\text{вт}}$ на нижней и верхней втулках (рис. 1).

Для оценки коэффициента трения использована методика [2], где его значение определяется в зависимости от вида контакта.

Вид контакта между плунжером и втулкой в зависимости от величины контурного давления

$$p_c^{\text{вт}} = \frac{N^{\text{вт}}}{S_c^{\text{вт}}} \quad (11)$$

определяется по условиям контакта «металл-металл»

$$\text{Вид контакта} = \begin{cases} \text{упругий ненасыщенный,} & \text{если } G_0 < p_c^{\text{BT}} \leq G_2 \\ \text{упруго-пластический,} & \text{если } G_2 < p_c^{\text{BT}} \leq G_3 \\ \text{пластический ненасыщенный,} & \text{если } G_3 < p_c^{\text{BT}} \leq G_4 \\ \text{пластический насыщенный,} & \text{если } G_4 < p_c^{\text{BT}} \leq G_5 \end{cases} \quad (12)$$

если соблюдается критерий внешнего трения

$$p_c^{\text{BT}} \leq \frac{0,125HB^{\text{BT}}}{\Delta_m^{\text{пл}}} \left(1 - 6 \left(\frac{\tau_0^{\text{BT}}}{HB^{\text{BT}}} + \beta^{\text{BT}} \right) \right)^2, \quad (13)$$

а границы видов контакта

$$\begin{aligned} G_0 &= 0; \\ G_2 &= \frac{2,4 \frac{2v^{\text{пл}}+1}{v^{\text{пл}}} v^{\text{пл}} (v^{\text{пл}} - 1) HB^{\text{BT}}^{(2v^{\text{пл}}+1)} \theta_{\text{BT}}^{2v^{\text{пл}}}}{5\Delta_m^{\text{пл}v^{\text{пл}}}}; \\ G_3 &= \frac{5,4 v^{\text{пл}} HB^{\text{BT}2v^{\text{пл}}+1} \theta_{\text{BT}}^{2v^{\text{пл}}}}{2\Delta_m^{\text{пл}v^{\text{пл}}}}; \\ G_4 &= \frac{0,5HB^{\text{BT}}}{\left(b^{\frac{1}{v^{\text{пл}}}} v^{\text{пл}} \right)^{\frac{v^{\text{пл}}-1}{v^{\text{пл}}-1}}}; \\ G_5 &= 0,32\alpha HB^{\text{BT}^2}. \end{aligned} \quad (14)$$

В приведенных выше выражениях $\theta_{\text{BT}} = \frac{1-\mu_{\text{BT}}^2}{E_{\text{BT}}}$ и $\theta_{\text{пл}} = \frac{1-\mu_{\text{пл}}^2}{E_{\text{пл}}}$ — упругие постоян-

ные материалы втулки и плунжера; $\Delta_m^{\text{пл}} = \frac{R_{\text{max}}^{\text{пл}}}{r_{\text{закр}}^{\text{пл}} b^{\text{пл}v^{\text{пл}}}}$, $R_{\text{max}}^{\text{пл}}$, $r^{\text{пл}}$, $b^{\text{пл}}$, $v^{\text{пл}}$ — комплексный

показатель и единичные параметры шероховатости поверхности плунжера; HB^{BT} — твердость поверхности плунжера по Бринелю; α — коэффициент, характеризующий напряженное и кинематическое состояние в зоне контакта, при упругом контакте $\alpha = 0,5$, при пластическом $\alpha = 1$; $S_c^{\text{BT}} = \varphi_c L^{\text{BT}}$ — контурная площадь контакта плунжера и бронзовой втулки,

$$\text{где } \varphi_c = \begin{cases} \frac{1}{0,450} \sqrt[3]{\frac{N^{\text{BT}}}{\Delta r^{\text{BT}} L^{\text{BT}}} \theta_{\text{BT}} (1-2\mu_{\text{BT}}) \left(\frac{R_{\text{BT}}}{r_{\text{BT}}} - 1 \right)}, & \text{при } \varphi_c \leq \frac{\pi}{1,8} \\ 1,520 + 0,400 \left[\frac{N^{\text{BT}}}{\Delta r^{\text{BT}} L^{\text{BT}}} \theta_{\text{BT}} (1-2\mu_{\text{BT}}) \left(\frac{R_{\text{BT}}}{r_{\text{BT}}} - 1 \right) \right], & \text{при } \varphi_c > \frac{\pi}{1,8} \end{cases} \quad \text{— начальный угол}$$

охвата плунжера внутренней поверхностью втулки [2]; $R_{\text{вт}}$ — внешний радиус втулки.

Коэффициент трения согласно [2] на контакте плунжера с бронзовой втулкой определяем из выражений

при упругом ненасыщенном контакте

$$f^{\text{BT}} = 2,4 \tau_0^{\text{BT}} \left(\frac{\Theta_{\text{вт}}^4}{P_c^{\text{BT}} \Delta_m^{\text{пл}^2}} \right)^{\frac{1}{5}} + \beta^{\text{BT}} + 0,2 \alpha_{\text{зпл}}^{\text{BT}} \left(P_c^{\text{BT}} \Delta_m^{\text{пл}^2} \Theta_{\text{вт}} \right)^{\frac{1}{5}};$$

при упругопластическом контакте

$$f^{\text{BT}} = 1,25 \tau_0^{\text{BT}} \left(\frac{\Theta_{\text{вт}}^2}{P_c^{\text{BT}} \Delta_m^{\text{пл}}} \right)^{\frac{1}{3}} + \beta^{\text{BT}} + 0,4 \alpha_{\text{зпл}}^{\text{BT}} \left(P_c^{\text{BT}} \Delta_m^{\text{пл}} \Theta_{\text{вт}} \right)^{\frac{1}{3}}; \quad (15)$$

при пластическом ненасыщенном контакте

$$f^{\text{BT}} = \frac{\tau_0^{\text{BT}}}{HB_{\text{вт}}} + \beta^{\text{BT}} + 0,5 \left(\frac{P_c^{\text{BT}}}{HB_{\text{вт}}} \Delta_m^{\text{пл}^2} \right)^{\frac{1}{4}};$$

при пластическом насыщенном контакте

$$f^{\text{BT}} = \frac{\tau_0^{\text{BT}}}{HB_{\text{вт}}} + \beta^{\text{BT}} + 0,9 \left(\frac{P_c^{\text{BT}}}{HB_{\text{вт}}} \Delta_m^{\text{пл}} \right)^{\frac{1}{2}};$$

где $\alpha_{\text{зпл}}^{\text{BT}} = 2,5 \alpha_{\Gamma}^{\text{BT}}$ — коэффициент гистерезисных потерь материала втулки при скольжении микронеровности, зависящий от напряженного состояния в зоне контакта; $\alpha_{\Gamma}^{\text{BT}}$ — коэффициент гистерезисных потерь материала втулки при одноосном растяжении (сжатии); τ_0^{BT} — касательное напряжение межмолекулярного сцепления; β^{BT} — коэффициент влияния нормального давления на межмолекулярное сцепление.

Определяя входящие в условие (7) параметры в соответствии с условиями (8)–(15), задаваясь величиной допустимого износа втулки $[\Delta H]$, и решая (7) относительно времени t , получим выражение для определения допустимого срока службы пары плунжер—втулка.

$$[t_{\text{вт}}] = \frac{4 [\Delta H^{\text{BT}}] (t_p + t_n) h_b}{I_w B^{\text{rx}} f^{\text{BT}} S_{\text{tp}} N L_{\text{пер}}}. \quad (16)$$

Радиальный износ уплотнения $\Delta R^{\text{ун}}(t)$ в функции изношенного объема $\Delta V^{\text{ун}}(t)$ с учетом условия (1)

$$\Delta R^{\text{ун}}(t) = -r_{\text{ун}} + \sqrt{r_{\text{ун}}^2 + \frac{\Delta V^{\text{ун}}(t)}{\pi L^{\text{ун}}}} = -r_{\text{ун}} + \sqrt{r_{\text{ун}}^2 + \frac{I_w A_{\text{tp}}^{\text{ун}}(t)}{\pi L^{\text{ун}}}}, \quad (17)$$

где $\Delta V^{\text{ун}}(t)$ — текущий объемный износ уплотнения; $r_{\text{ун}}$ — внутренний радиус кольца уплотнения до сборки; $L^{\text{ун}}$ — ширина кольца уплотнения; $r_{\text{пл}}$ — радиус плунжера.

Работа сил трения в контакте плунжера с уплотнением согласно выражению (8) будет

$$A_{\text{tp}}^{\text{ун}}(t) = a_{\text{tp}}^{\text{ун}} \Sigma_{\text{пул}}(t) = a_{\text{tp}}^{\text{ун}} \frac{t}{t_p + t_n}. \quad (18)$$

Однако в (18) работа трения в контакте за время прокатки одного рулона;

$$a_{\text{тр}}^{\text{уп}} = F_{\text{тр}}^{\text{уп}} S_{\text{тр}}, \quad (19)$$

$F_{\text{тр}}^{\text{уп}} = f^{\text{уп}} N^{\text{уп}}$ — сила трения и $f^{\text{уп}}$ — коэффициент трения в контакте плунжера с уплотнением.

Сила нормального давления на контакте с уплотнением определяется величиной натяга Δ (разницей диаметров) уплотнения и плунжера и равна, согласно [2],

$$N^{\text{уп}} = 2\pi r_{\text{пл}} L^{\text{уп}} p_c^{\text{уп}}, \quad (20)$$

$$\text{где } p_c^{\text{уп}} = \frac{\frac{\Delta}{2r_{\text{пл}}}}{\frac{1-\mu_{\text{пл}}}{E_{\text{пл}}} + \frac{1}{E_{\text{уп}}} \left(\frac{1 + \frac{R_{\text{уп}}^2}{r_{\text{уп}}^2}}{1 - \frac{R_{\text{уп}}^2}{r_{\text{уп}}^2}} + \mu_{\text{уп}} \right)} \text{ — нормальное давление в контакте.} \quad (21)$$

Коэффициента трения определен по той же методике, по которой его значение определяется в зависимости от вида контакта.

Вид контакта между плунжером и втулкой в зависимости от величины контурного давления определяется по условиям контакта металл—неметалл:

$$\text{Вид контакта} = \begin{cases} \text{упругий ненасыщенный,} & \text{если } G_0 < p_c^{\text{вт}} \leq G_1 \\ \text{упругий насыщенный,} & \text{если } G_1 < p_c^{\text{вт}} \leq G_2 \\ \text{упруго-пластический,} & \text{если } G_2 < p_c^{\text{вт}} \leq G_3 \\ \text{пластический ненасыщенный,} & \text{если } G_3 < p_c^{\text{вт}} \leq G_4 \\ \text{пластический насыщенный,} & \text{если } G_4 < p_c^{\text{вт}} \leq G_5 \end{cases} \quad (22)$$

если соблюдается критерий внешнего трения

$$p_c^{\text{уп}} \leq \frac{0,125 H B^{\text{уп}}}{\Delta_m^{\text{пл}}} \left(1 - 6 \left(\frac{\tau_0^{\text{уп}}}{H B^{\text{уп}}} + \beta^{\text{уп}} \right) \right)^2. \quad (23)$$

Границы видов контакта могут быть найдены по условиям (14) с учетом того, что

$$G_1 = 0,06 \frac{\sqrt{\Delta_m^{\text{пл}}}}{\theta_{\text{уп}}}, \text{ а коэффициент трения в упругонасыщенном контакте}$$

$$f^{\text{уп}} = 1,25 \tau_0^{\text{уп}} \left(\frac{\theta_{\text{уп}}^2}{p_c^{\text{уп}} \Delta_m^{\text{пл}}} \right)^{\frac{1}{3}} + \beta^{\text{уп}} + 0,4 \alpha_{\text{зпл}}^{\text{уп}} \left(p_c^{\text{уп}} \Delta_m^{\text{пл}} \theta_{\text{уп}} \right)^{\frac{1}{3}}. \quad (24)$$

В приведенных выражениях упругие постоянные, параметры шероховатости, твердость и другие характеристики следует определять для материалов пары плунжер—уплотнение.

Определяя входящие в условие (17) параметры в соответствии с условиями (18)–(24), задаваясь величиной допустимого износа уплотнения $[\Delta R^{yn}]$ и решая (17) относительно времени t , получим выражение для определения допустимого срока службы пары плунжер—уплотнение.

$$[t_{yn}] = \frac{[\Delta R^{yn}](t_p + t_n)([\Delta R^{yn}] + 2r_{yn})}{2I_w f^{yn} r_{nn} p_c^{yn} S_{tp}}. \quad (25)$$

Энергетические интенсивности изнашивания I_w для исследованных пар, входящие в условие (1), определяем согласно требованиям рекомендаций Р 60-95-88 «Обеспечение износостойкости изделий». В качестве исходных данных для определения I_w используем значение i -ой наработки по работе трения A_{tpi} и соответствующее значения износа ΔV_i для каждой пары гидроцилиндра. Из n измерений износа и расчетов работы трения оцениваем статистические характеристики показателя изнашивания: среднее значение \bar{I}_w и дисперсию S^2

$$\bar{I}_w = \frac{1}{n} \sum_{i=1}^n I_{wi}, \quad (26)$$

$$S^2 = \frac{n}{n-1} \left(\frac{1}{n} \sum_{i=1}^n I_{wi}^2 - \bar{I}_w^2 \right). \quad (27)$$

Для каждой пары вычисляем допустимые пределы I_{wh} и I_{wb} показателя изнашивания, определяющие интервал, в который с вероятностью γ должна попасть основная доля измерений, не меньшая заданного предела P . Принимая нормальный закон распределения величины I_w и задаваясь $\gamma = 0,99$, $P = 0,90$, находим минимальное число испытаний $n = 60$. Допустимые пределы величины I_w определяем по формулам

$$I_{wh} = \bar{I}_w - tS, \quad I_{wb} = \bar{I}_w + tS, \quad (28)$$

где для заданных значений γ и P коэффициент вероятностного распределения $t_\infty^P = 1,65$ и квантиль $Z_\gamma = 2,33$.

Полученные выражения (25) и (16) позволяют определить время замены уплотнений или бронзовых втулок соответственно. Как показывает практика, срок службы пары плунжер—уплотнение $[t_{yn}]$ в 2...3 раза меньше срока службы пары плунжер—бронзовая втулка $[t_{vt}]$. Срок службы гидроцилиндра в сборе зависит от условий работы в каждом отдельном цехе и равен 2...3 срока службы $[t_{vt}]$ пары плунжер—бронзовая втулка.

СПИСОК ЛИТЕРАТУРЫ

- Кузнецов В. Д. Физика твердого тела. — Томск: Полиграфиздат, 1947. — Т. 4. — С. 542.
- Крагельский И. В., Михин Н. М. Узлы трения машин: Справочник. — М.: Машиностроение, 1984. — 280 с.